

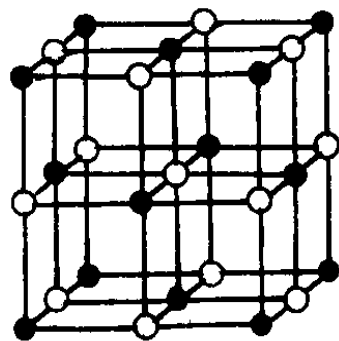
# 晶体衍射与结构分析

Lec-05

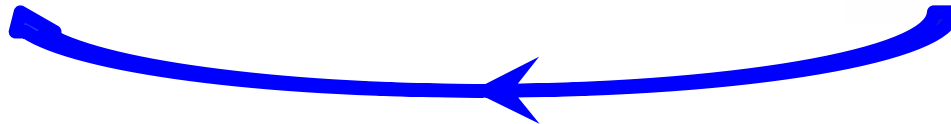
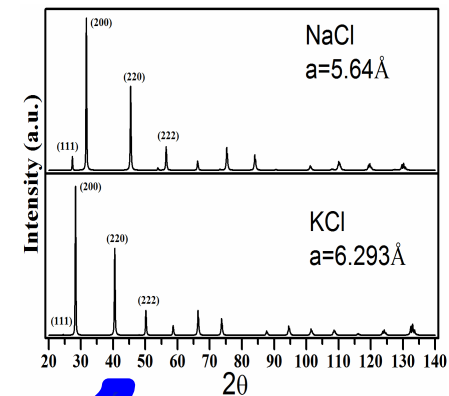
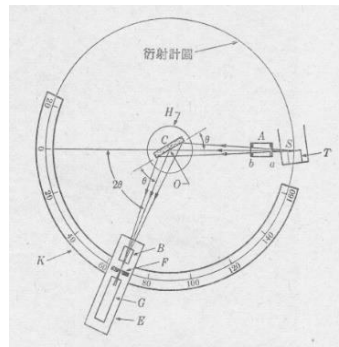
## Crystal Diffraction and Structure Analysis

刘 泉 林

北京科技大学材料科学与工程学院



NaCl



## Crystal Diffraction and Structure Analysis

### 二、X射线晶体衍射理论及实验技术和方法

2.1 X射线物理学：X射线本质， X射线与物质的相互作用， X射线的探测与防护， X射线散射。  
独立电子散射， 原子散射

#### 2.2 X射线衍射的运动学：

结构因数：一个晶体内所有晶胞对X射线的散射，  
干涉函数， 劳厄方程式与布拉格方程式及应用举例

2.3 倒易点阵， 衍射实验技术和方法

倒易点阵和衍射方向

衍射数据的实验收集方法和数据处理

# 晶体衍射与结构分析

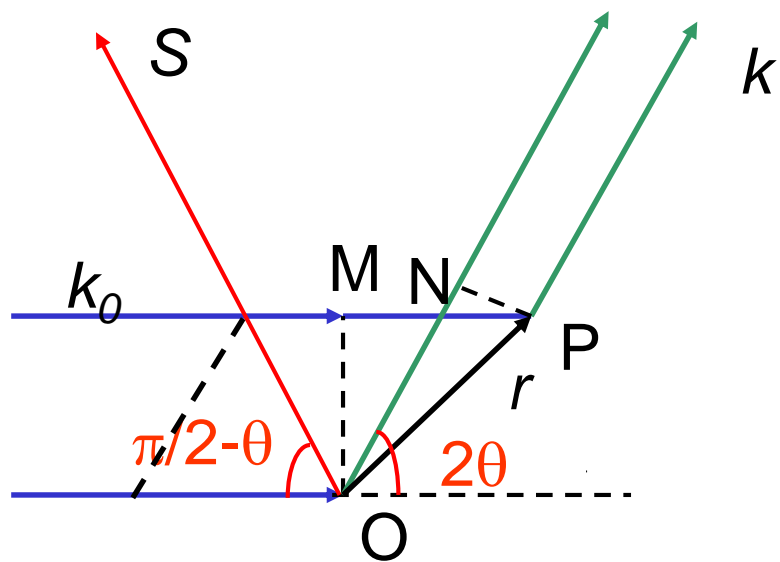
## Crystal Diffraction and Structure Analysis

材料 ↔ 物相 ↔ 多晶 ↔

单晶 ↔ 晶胞 ↔ 原子 ↔ 电子

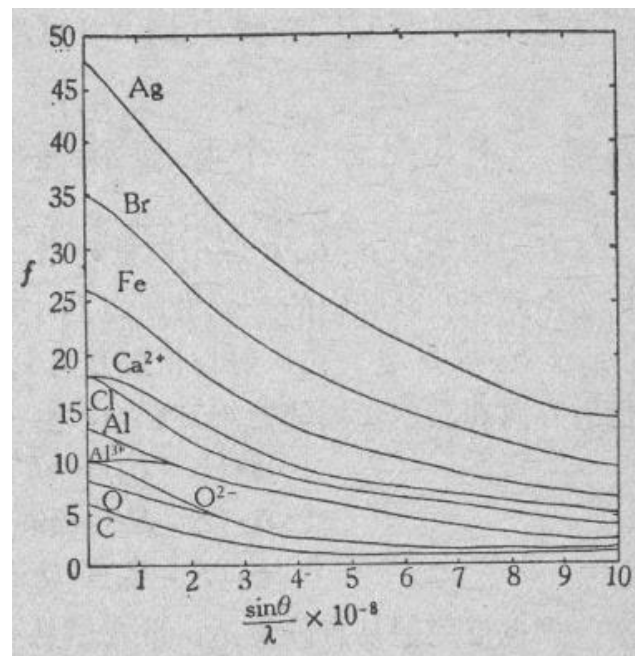
一个晶胞或小块单晶对X射线的散射/衍射及其数学表达式

# 原子散射因数



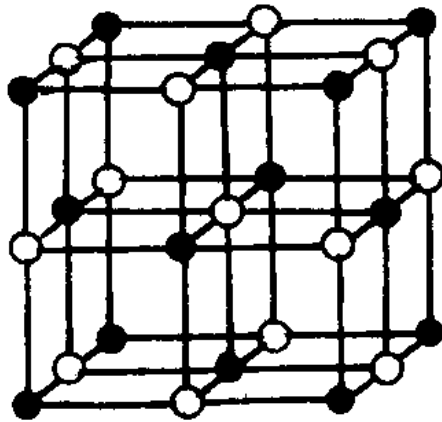
$$|k_0| = |k| = \frac{2\pi}{\lambda}.$$

$$|s| = |k - k_0| = 2|k_0| \sin \theta = \frac{4\pi}{\lambda} \sin \theta$$

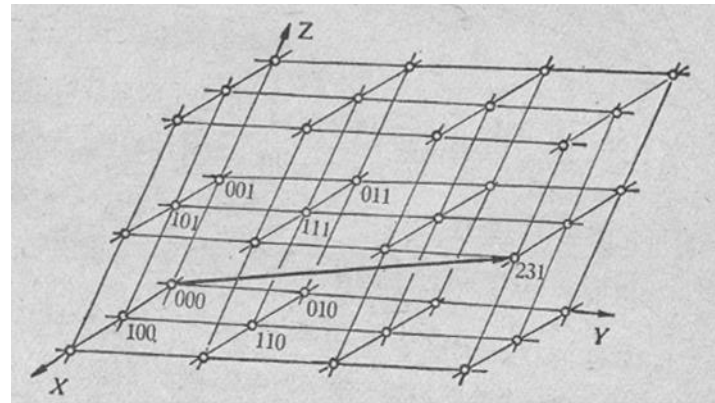


一个原子散射的振幅相当于位于原子的原点处的 $f(\mathbf{s})$ 个独立电子向同一个 $\mathbf{s}$ 方向所散射振幅（按汤姆逊公式计算）的和。

## 2.2.1 一个晶胞内所有原子对X射线的散射：结构因数



NaCl

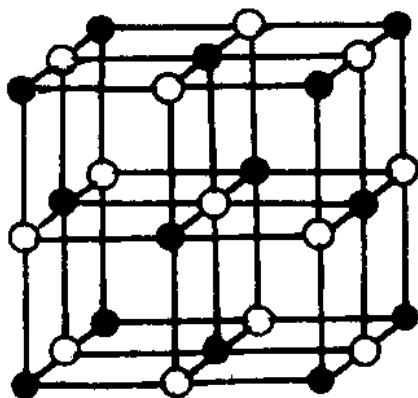


晶体 = 晶胞 + 三维平移周期

一个晶胞内所有原子对X射线的散射——结构因数

一个晶体内所有晶胞对X射线的散射——干涉函数

## 一个晶胞或单晶中原子位置的数学表达式



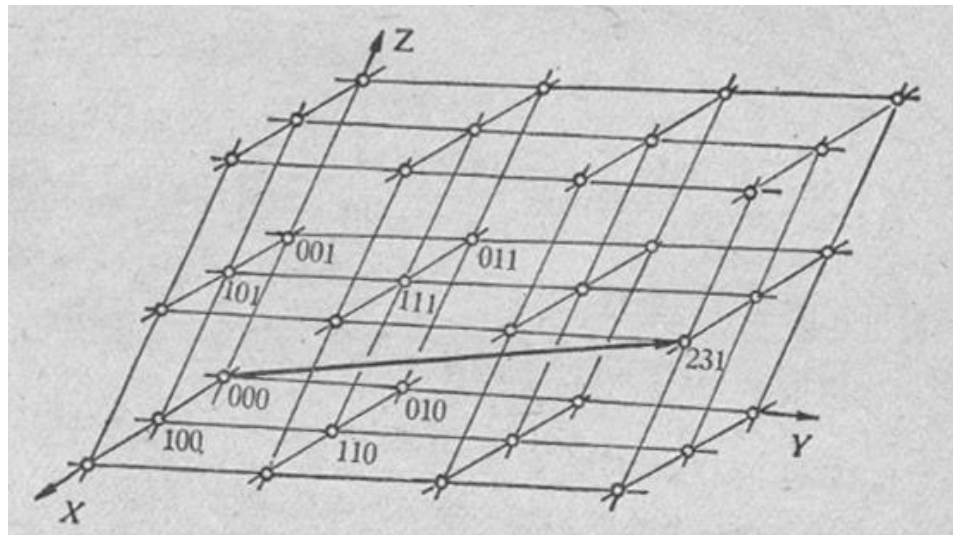
NaCl

Fm3m,  $a=5.640 \text{ \AA}$

Na 4a (0,0,0)

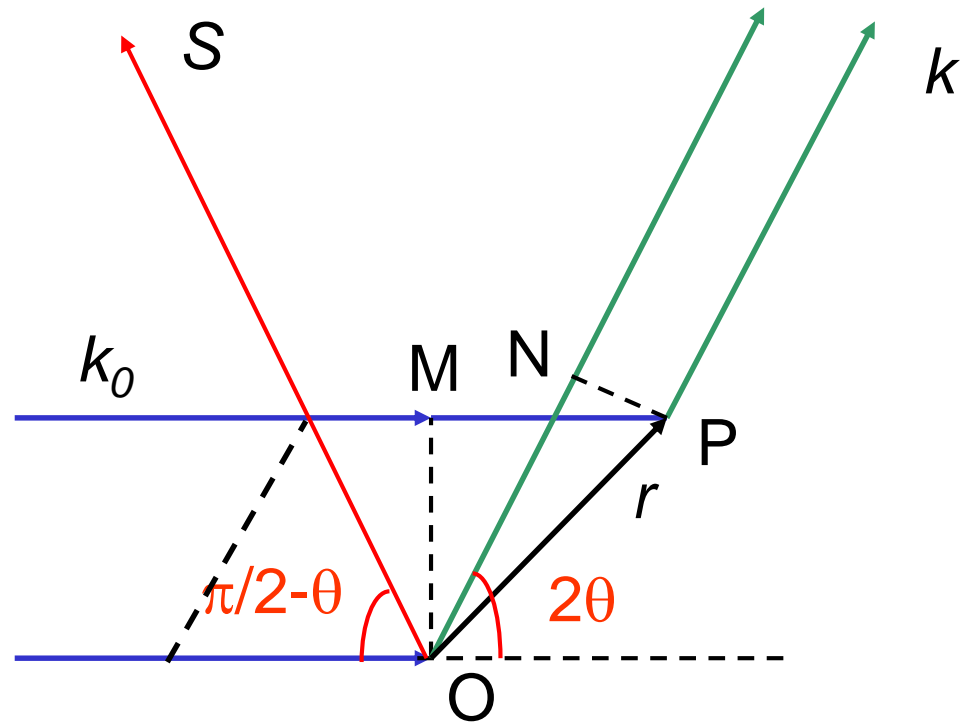
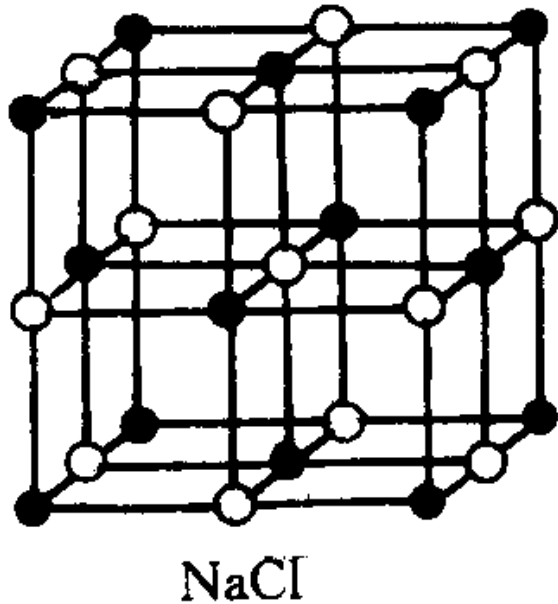
Cl 4b (0.5,0.5,0.5)

$$\mathbf{r}_C = 0.5\mathbf{a} + 0.5\mathbf{b} + 0.5\mathbf{c}$$



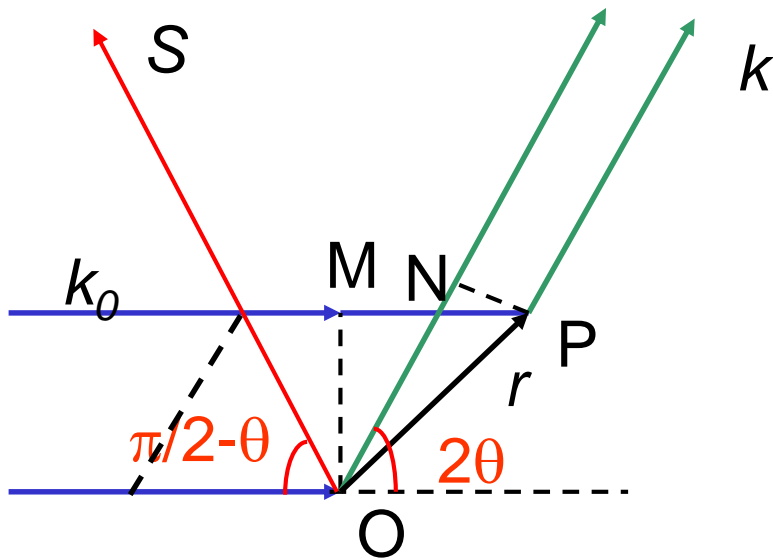
$$\mathbf{r}_N = m\mathbf{a} + n\mathbf{b} + p\mathbf{c}$$

# 一个晶胞对X射线的散射



$$\mathbf{r}_j = x_j \mathbf{a} + y_j \mathbf{b} + z_j \mathbf{c}$$

# 一个晶胞对X射线的散射



$$\phi_j = \mathbf{r}_j \cdot \mathbf{s}$$

$$\mathbf{r}_j = x_j \mathbf{a} + y_j \mathbf{b} + z_j \mathbf{c}$$

$$\mathbf{s} = \mathbf{k} - \mathbf{k}_0, |\mathbf{s}| = \frac{4\pi \sin \theta}{\lambda}$$

$$E_{uc} = E_e \sum_{i=1}^n f_j e^{i\mathbf{s} \cdot \mathbf{r}_j} = E_e \sum_{i=1}^n f_j e^{i\mathbf{s} \cdot (x_j \mathbf{a} + y_j \mathbf{b} + z_j \mathbf{c})}$$

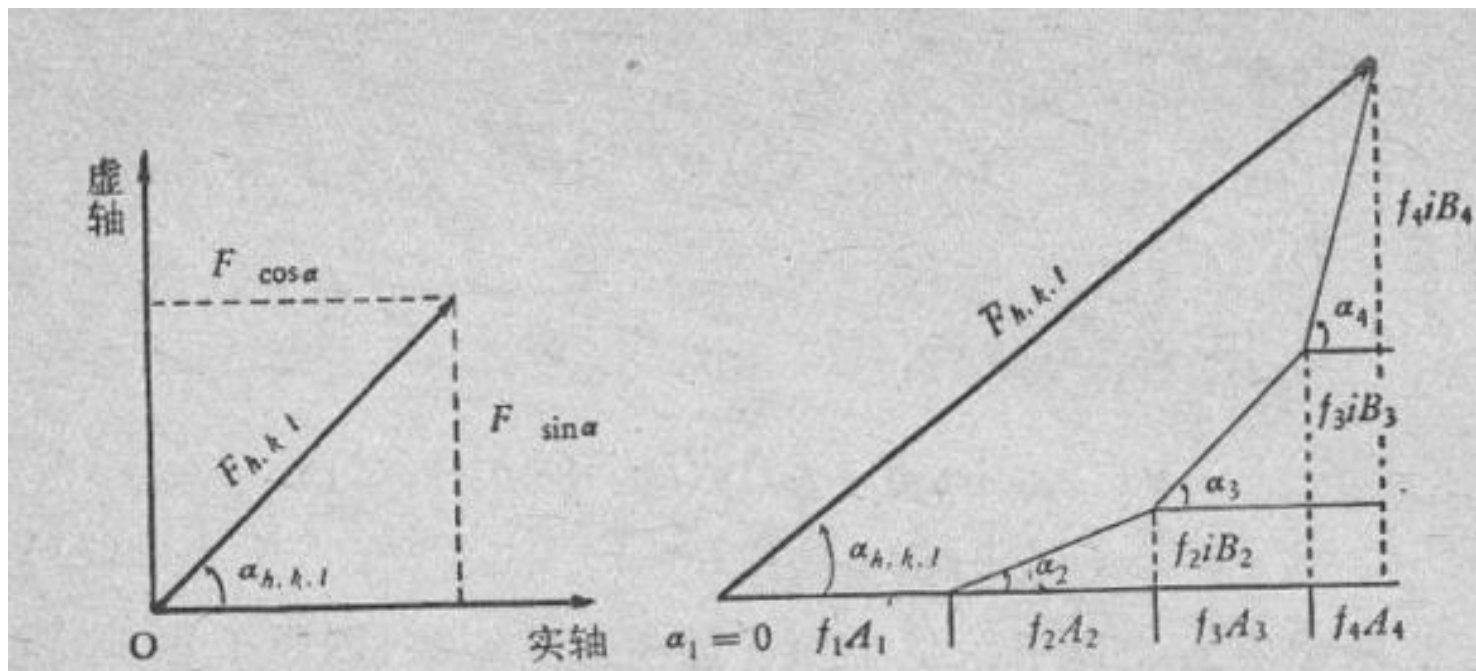


# 结构因数/因子

$$F(\mathbf{s}) = \frac{E_{uc}}{E_e} = \sum_{j=1}^n f_j e^{i\mathbf{s} \cdot \mathbf{r}_j} = \sum_{j=1}^n f_j e^{i\mathbf{s} \cdot (x_j \mathbf{a} + y_j \mathbf{b} + z_j \mathbf{c})}$$

结构因数 $F(\mathbf{s})$ ——也有人称为结构振幅——表征了晶胞内原子种类，各种原子的个数和晶胞内原子的排列对衍射的影响。它的物理意义是一个晶胞向有 $\mathbf{s}$ 规定的方向散射的振幅等于 $F(\mathbf{s})$ 个电子处在晶胞原点向这一方向散射的总振幅。

# 结构因数/因子



$$F(s) = \frac{E_{uc}}{E_e} = \sum_{j=1}^n f_j e^{is \cdot r_j} = \sum_{j=1}^n f_j e^{is \cdot (x_j \mathbf{a} + y_j \mathbf{b} + z_j \mathbf{c})}$$

$$F(\mathbf{s}) = \frac{E_{uc}}{E_e} = \sum_{j=1}^n f_j e^{i\mathbf{s} \cdot \mathbf{r}_j} = \sum_{j=1}^n f_j e^{i\mathbf{s} \cdot (x_j \mathbf{a} + y_j \mathbf{b} + z_j \mathbf{c})}$$

$$\exp\{i\alpha\} = \cos \alpha + i \sin \alpha = A + iB$$

$$F_{\mathbf{s}} = |F_{\mathbf{s}}| \exp\{i\alpha_{\mathbf{s}}\} = |F_{\mathbf{s}}| \cos \alpha_{\mathbf{s}} + i |F_{\mathbf{s}}| \sin \alpha_{\mathbf{s}} = A'_S + iB_S$$

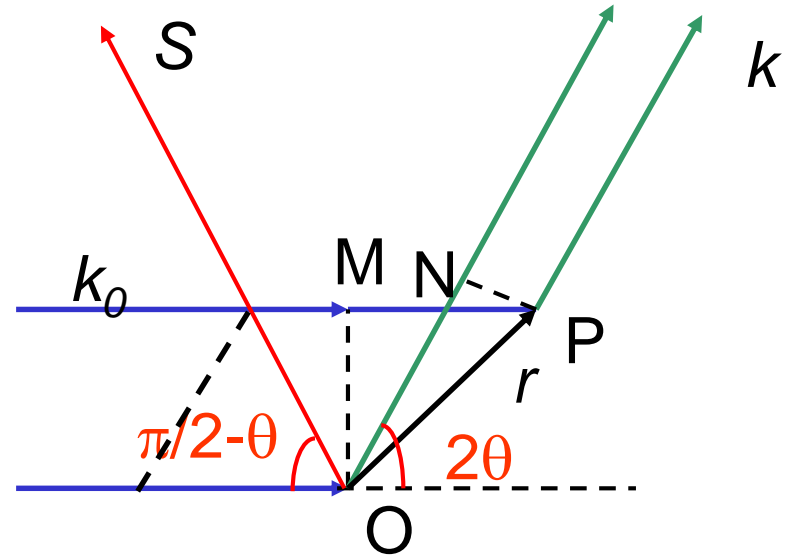
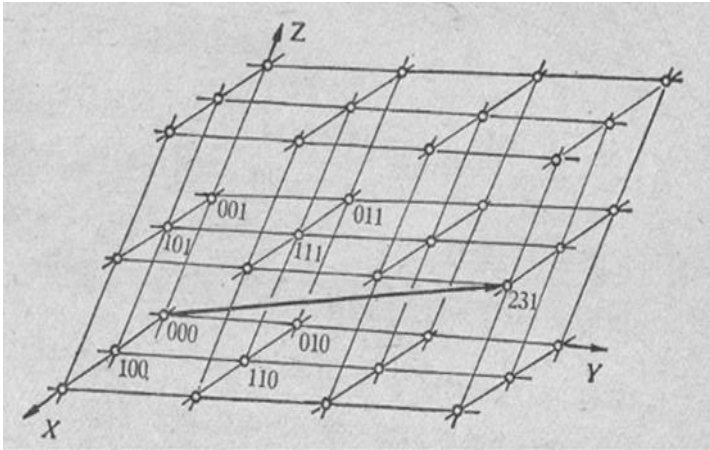
$$|F_{\mathbf{s}}| = (A'^2_S + B'^2_S)^{1/2}$$

$$A'_S = |F_{\mathbf{s}}| \cos \alpha_S = \sum_{j=1}^n f_j \cos\{\mathbf{S} \cdot (\mathbf{a}x_j + \mathbf{b}y_j + \mathbf{c}z_j)\}$$

$$B'_S = |F_{\mathbf{s}}| \sin \alpha_S = \sum_{j=1}^n f_j \sin\{\mathbf{S} \cdot (\mathbf{a}x_j + \mathbf{b}y_j + \mathbf{c}z_j)\}$$

$$\alpha_S = \tan^{-1} \frac{B'}{A'}$$

## 2.2.2 一个晶体内所有晶胞对X射线的散射



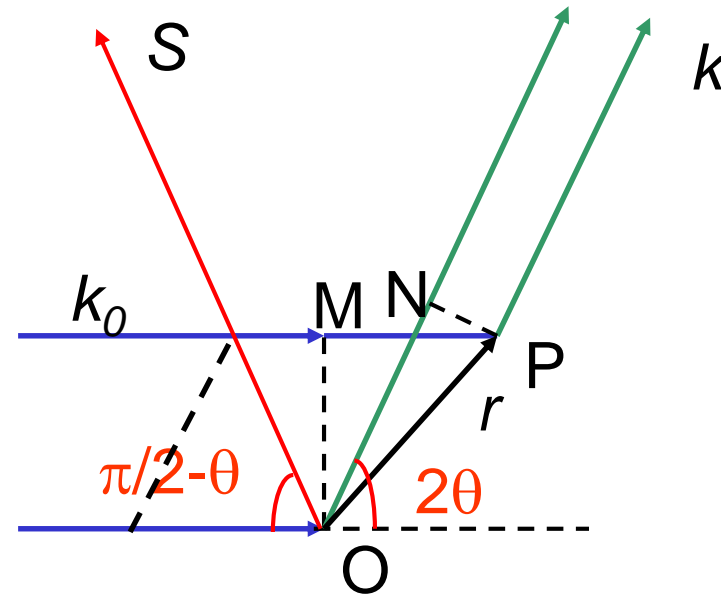
$$\mathbf{r}_N = m\mathbf{a} + n\mathbf{b} + p\mathbf{c}$$

## 2.2.2 一个晶体内所有晶胞对X射线的散射

$$\phi = \frac{2\pi}{\lambda}(ON - MP) = \mathbf{r}_P \cdot (\mathbf{k} - \mathbf{k}_0) \equiv \mathbf{r}_P \cdot \mathbf{s}$$

$$\mathbf{r}_P = m\mathbf{a} + n\mathbf{b} + p\mathbf{c}$$

$$\mathbf{s} = \mathbf{k} - \mathbf{k}_0, |\mathbf{s}| = \frac{4\pi \sin \theta}{\lambda}$$



$$E_c = F(s)E_e \sum_{p=0}^{N-1} e^{is \cdot r_p} = F(s)E_e \sum_{m=0}^{N_1-1} e^{is \cdot ma} \sum_{n=0}^{N_2-1} e^{is \cdot nb} \sum_{p=0}^{N_3-1} e^{is \cdot pc}$$

$$= F(s)E_e \sum_{m=0}^{N_1-1} e^{ima \cdot s} \sum_{n=0}^{N_2-1} e^{inb \cdot s} \sum_{p=0}^{N_3-1} e^{ipc \cdot s}$$

## 2.2.2 一个晶体内所有晶胞对X射线的散射

$$I'_S = I_e |F(s)|^2 \left| \sum_{m=0}^{N_1-1} e^{is \cdot ma} \sum_{n=0}^{N_2-1} e^{is \cdot nb} \sum_{p=0}^{N_3-1} e^{is \cdot pc} \right|^2$$

$$G_1 = \left| \sum_{m=0}^{N_1-1} e^{is \cdot ma} \right|$$

$$G_1 = \left| \sum_{m=0}^{N_1-1} e^{is \cdot ma} \right|$$

$$a + ar + ar^2 + \cdots + ar^l = \frac{r^l - a}{r - 1}$$

$$G_1 = \left| \sum_{m=0}^{N_1-1} e^{is \cdot ma} \right| = \left| \frac{e^{iN_1 a \cdot s} - 1}{e^{ia \cdot s} - 1} \right| = \frac{\sin \frac{1}{2} N_1 \mathbf{a} \cdot \mathbf{s}}{\sin \frac{1}{2} \mathbf{a} \cdot \mathbf{s}}$$

$$I_c = E_c \cdot E_c^*$$

$$= F^2(s) E_e^2 \cdot \frac{\sin^2 \frac{1}{2} N_1 \mathbf{a} \cdot \mathbf{s}}{\sin^2 \frac{1}{2} \mathbf{a} \cdot \mathbf{s}} \cdot \frac{\sin^2 \frac{1}{2} N_2 \mathbf{b} \cdot \mathbf{s}}{\sin^2 \frac{1}{2} \mathbf{b} \cdot \mathbf{s}} \cdot \frac{\sin^2 \frac{1}{2} N_3 \mathbf{c} \cdot \mathbf{s}}{\sin^2 \frac{1}{2} \mathbf{c} \cdot \mathbf{s}}$$

# 干涉函数

$$I(s) = \frac{\sin^2 \frac{1}{2} N_1 \mathbf{a} \cdot \mathbf{s}}{\sin^2 \frac{1}{2} \mathbf{a} \cdot \mathbf{s}} \cdot \frac{\sin^2 \frac{1}{2} N_2 \mathbf{b} \cdot \mathbf{s}}{\sin^2 \frac{1}{2} \mathbf{b} \cdot \mathbf{s}} \cdot \frac{\sin^2 \frac{1}{2} N_3 \mathbf{c} \cdot \mathbf{s}}{\sin^2 \frac{1}{2} \mathbf{c} \cdot \mathbf{s}}$$

$$I_c = F^2(s) E_e^2 I(s)$$



# 干涉函数

$$I(s) = \frac{\sin^2 \frac{1}{2} N_1 \mathbf{a} \cdot \mathbf{s}}{\sin^2 \frac{1}{2} \mathbf{a} \cdot \mathbf{s}} \cdot \frac{\sin^2 \frac{1}{2} N_2 \mathbf{b} \cdot \mathbf{s}}{\sin^2 \frac{1}{2} \mathbf{b} \cdot \mathbf{s}} \cdot \frac{\sin^2 \frac{1}{2} N_3 \mathbf{c} \cdot \mathbf{s}}{\sin^2 \frac{1}{2} \mathbf{c} \cdot \mathbf{s}}$$

$$\varphi_a = \frac{1}{2} \mathbf{s} \cdot \mathbf{a},$$

(1) 主极大的位置, 大小, 宽度和数目

位置:  $\varphi_a = h\pi = \frac{1}{2} \mathbf{s} \cdot \mathbf{a}$

大小:  $\left[ \frac{\sin^2 N_1 \varphi_a}{\sin^2 \varphi_a} \right]_{\varphi_a = h\pi} = N_1^2$



宽度:

$$\frac{\sin^2 N_1 \varphi_a}{\sin^2 \varphi_a} = 0$$

$$\varphi_a^0 = \frac{p\pi}{N_1} + h\pi$$

$$\varphi_a^0 = \pm \frac{\pi}{N_1} + h\pi$$

$$\frac{2\pi}{N_1}$$

# 主极大的宽度和数目

数目:  $|\theta| \leq \frac{\pi}{2}, |2\theta| \leq \pi, |\sin \theta| \leq 1$

$$\varphi_a = \frac{1}{2} s \cdot a = h\pi$$

$$\frac{1}{2} \cdot \frac{4\pi \sin \theta}{\lambda} \cdot a = h\pi$$

$$\frac{h\lambda}{a} = 2 \sin \theta$$

$$|h| \leq \frac{2a}{\lambda}$$

## 零点位置数目

$$\frac{\sin^2 N_1 \varphi_a}{\sin^2 \varphi_a} = 0$$

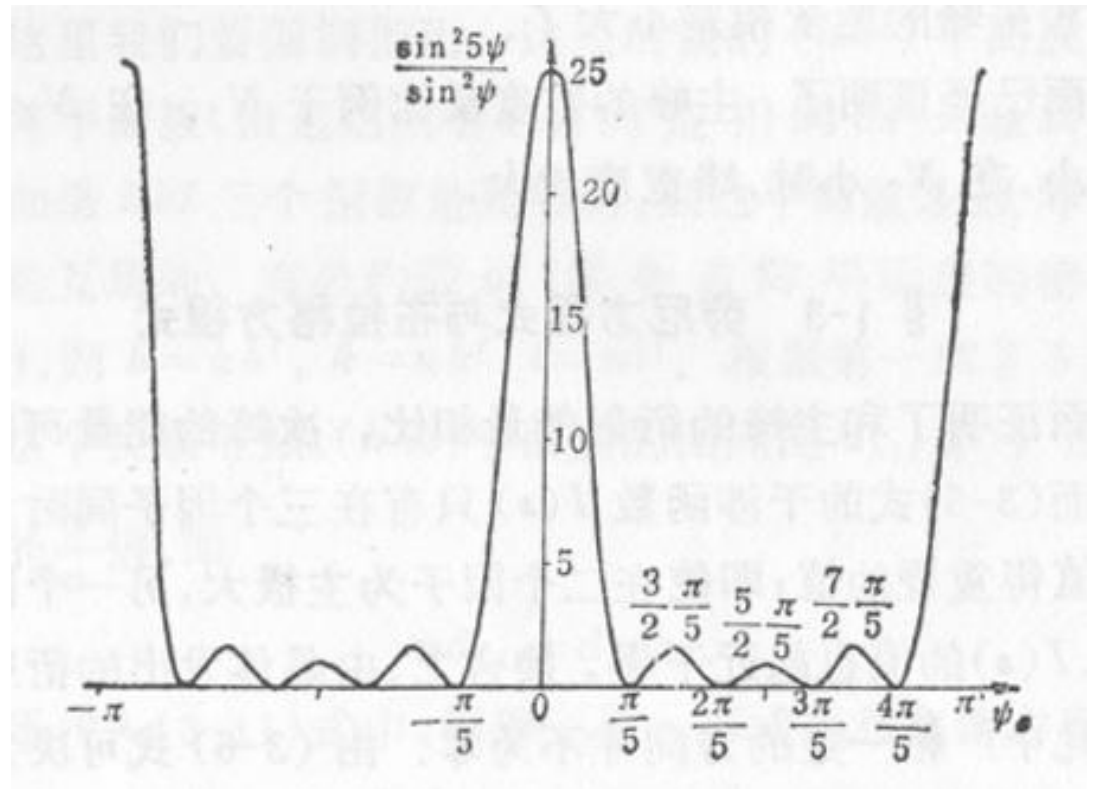
$$\varphi_a^0 = \frac{p\pi}{N_1} + h\pi$$

$$p = 1, 2 \dots N-1$$

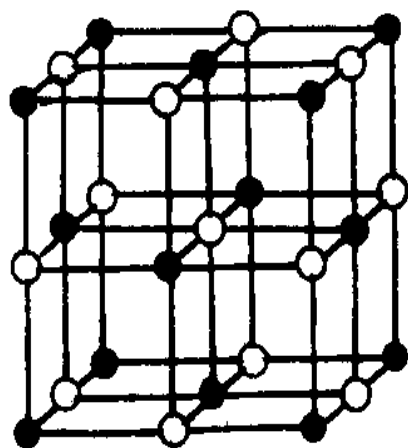
## 次极大的位置，数目和强度

零点位置之间为次极大

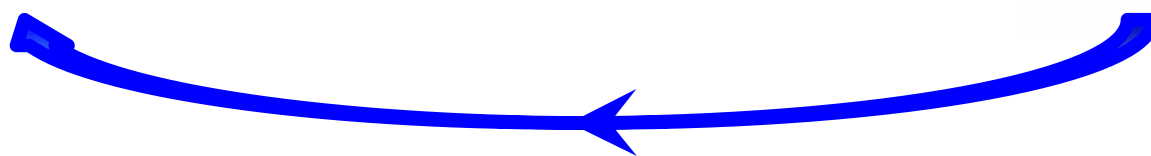
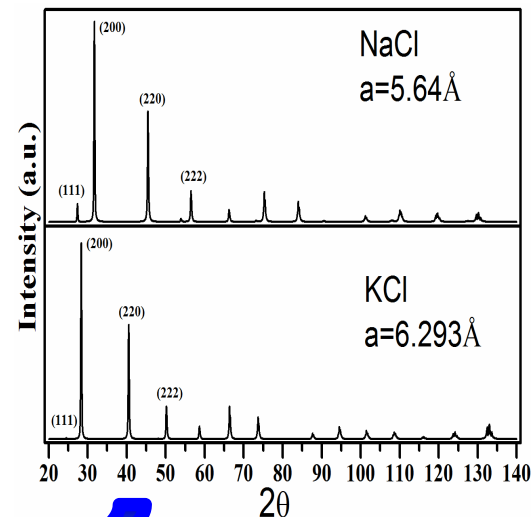
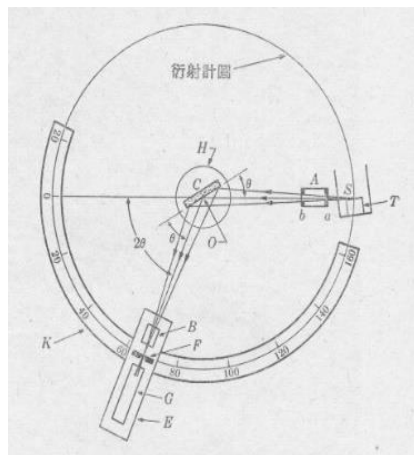
$$\varphi_a^s = \frac{\frac{p\pi}{N_1} + \frac{(p+1)\pi}{N_1}}{2}$$
$$= \frac{2p+1}{2} \frac{\pi}{N_1}$$



# 衍射峰敏锐/背底强度低 取决于？



NaCl



$$\varphi_a^s = \frac{\frac{p\pi}{N_1} + \frac{(p+1)\pi}{N_1}}{2} = \frac{2p+1}{2} \frac{\pi}{N_1}$$

### 2.2.3 劳厄方程式与布拉格方程式

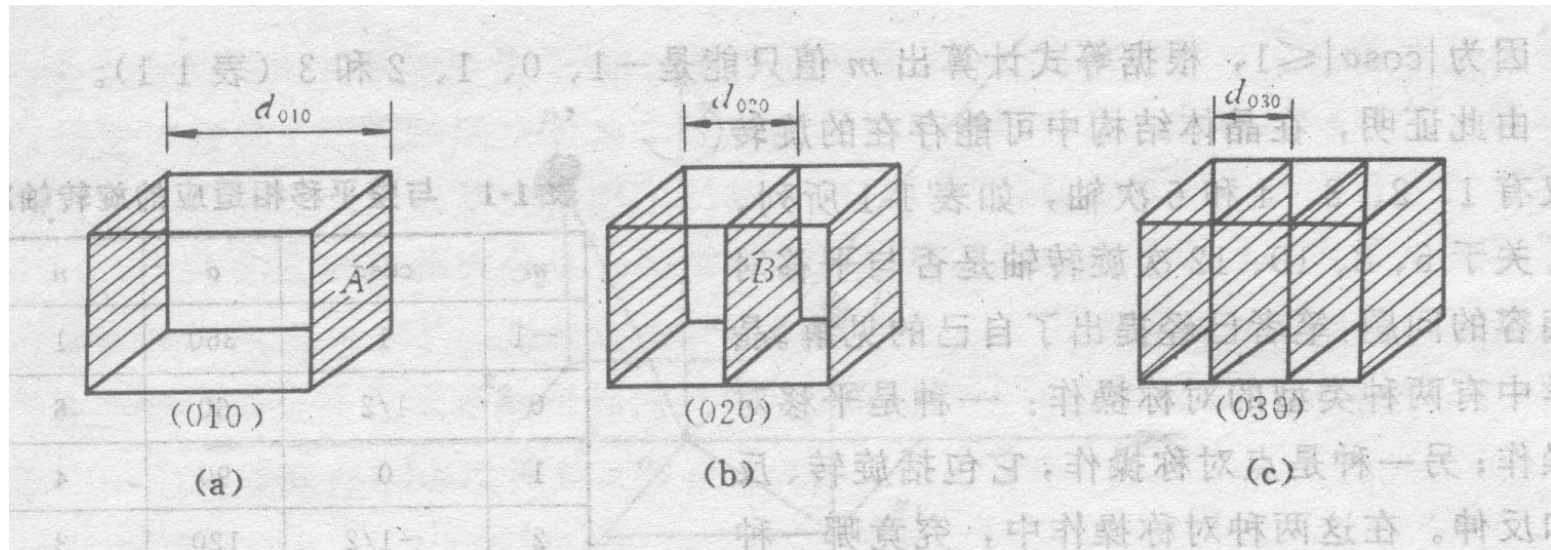
$$\varphi_a = \frac{1}{2} \mathbf{s} \cdot \mathbf{a} = h\pi$$

$$\varphi_b = \frac{1}{2} \mathbf{s} \cdot \mathbf{b} = k\pi$$

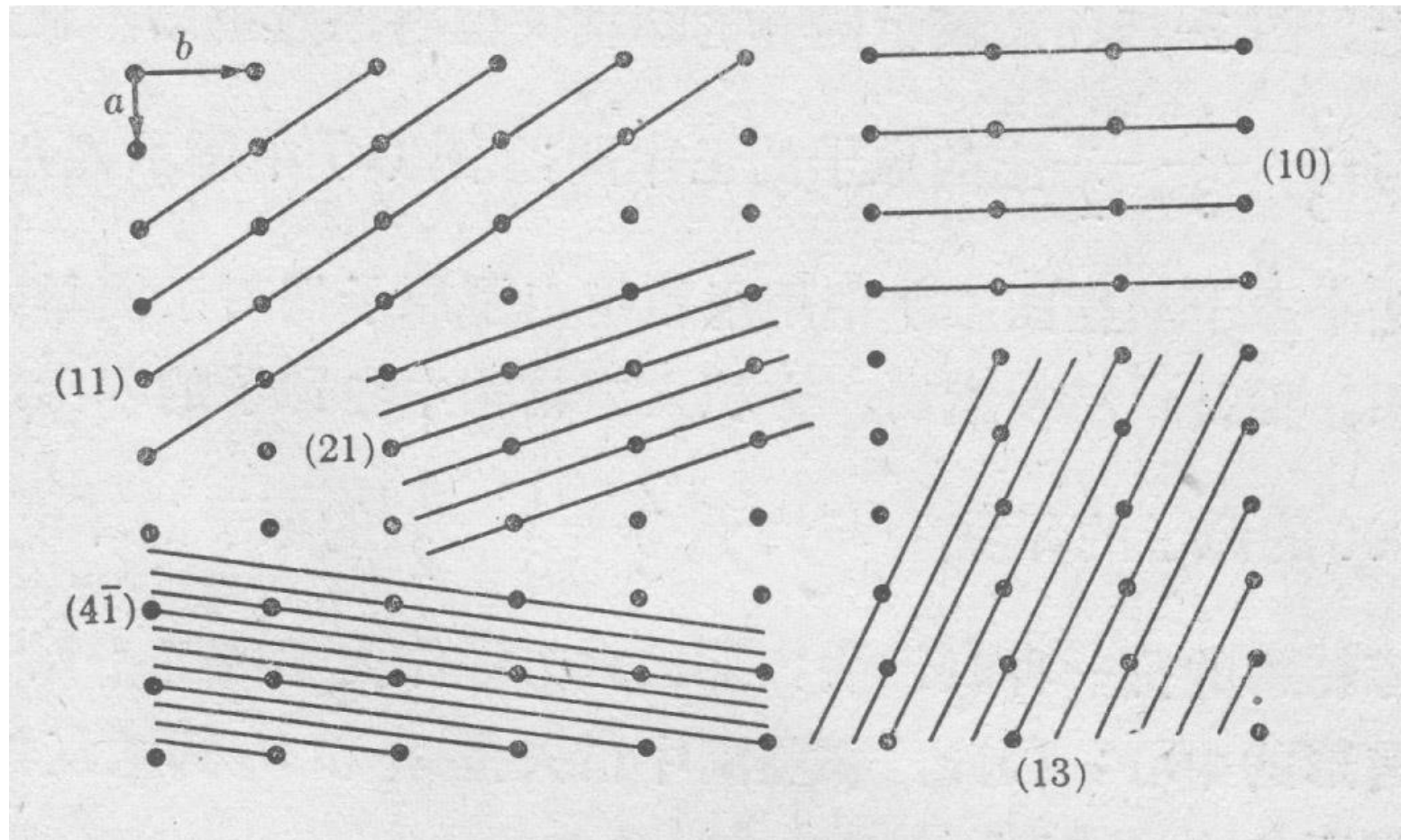
$$\varphi_c = \frac{1}{2} \mathbf{s} \cdot \mathbf{c} = l\pi$$

$$\mathbf{s} \cdot \mathbf{a} = 2h\pi, \mathbf{s} \cdot \mathbf{b} = 2k\pi, \mathbf{s} \cdot \mathbf{c} = 2l\pi$$

# 劳厄方程式与布拉格方程式



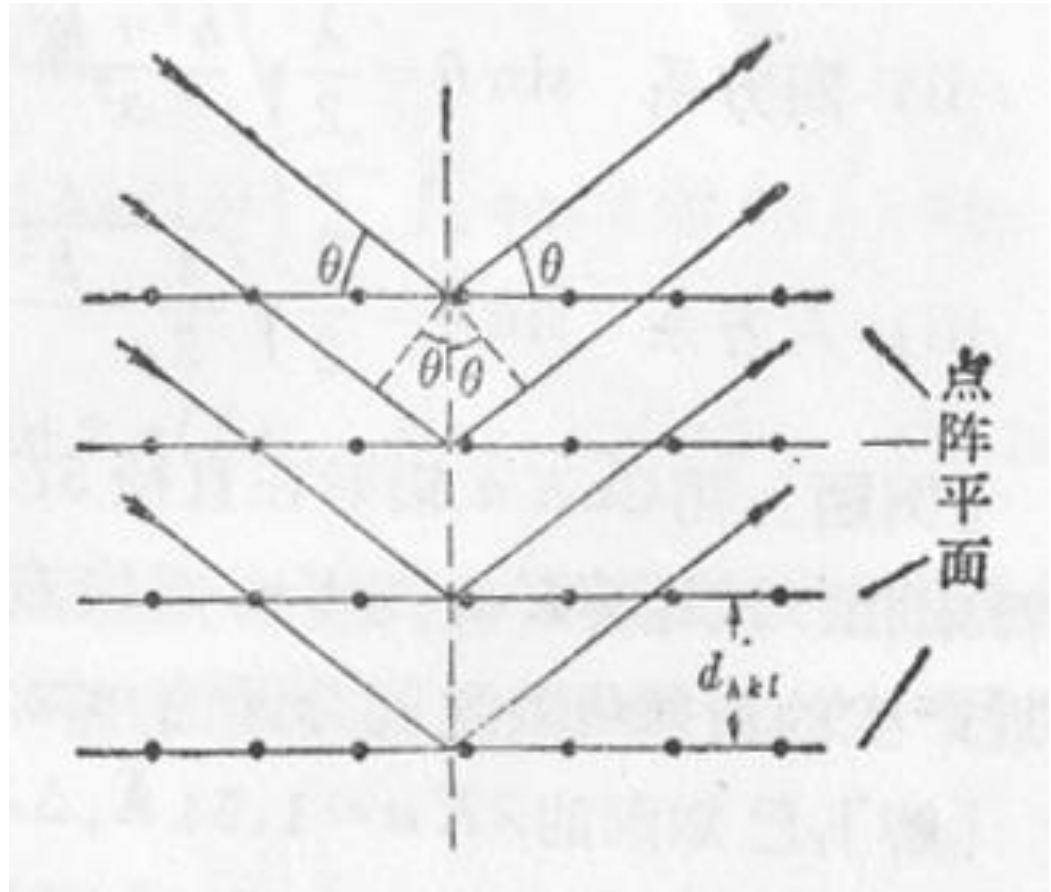
# 劳厄方程式与布拉格方程式





# 布拉格方程式

$$2d_{hkl} \sin \theta = \lambda$$



# 劳厄方程式

$$s \cdot \frac{\mathbf{a}}{h} = 2\pi,$$

$$s \cdot \frac{\mathbf{b}}{k} = 2\pi$$

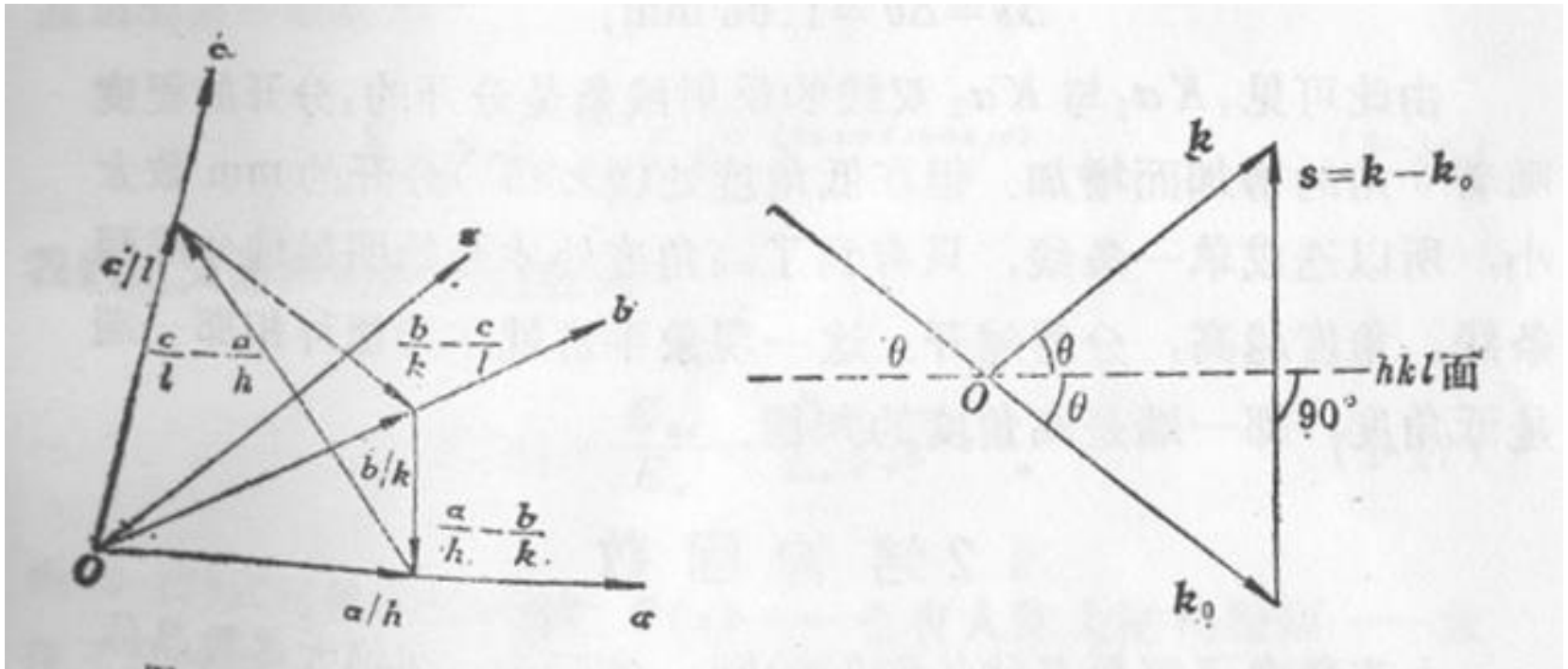
$$s \cdot \frac{\mathbf{c}}{l} = 2\pi$$

$$s \cdot \left( \frac{\mathbf{a}}{h} - \frac{\mathbf{b}}{k} \right) = 0$$

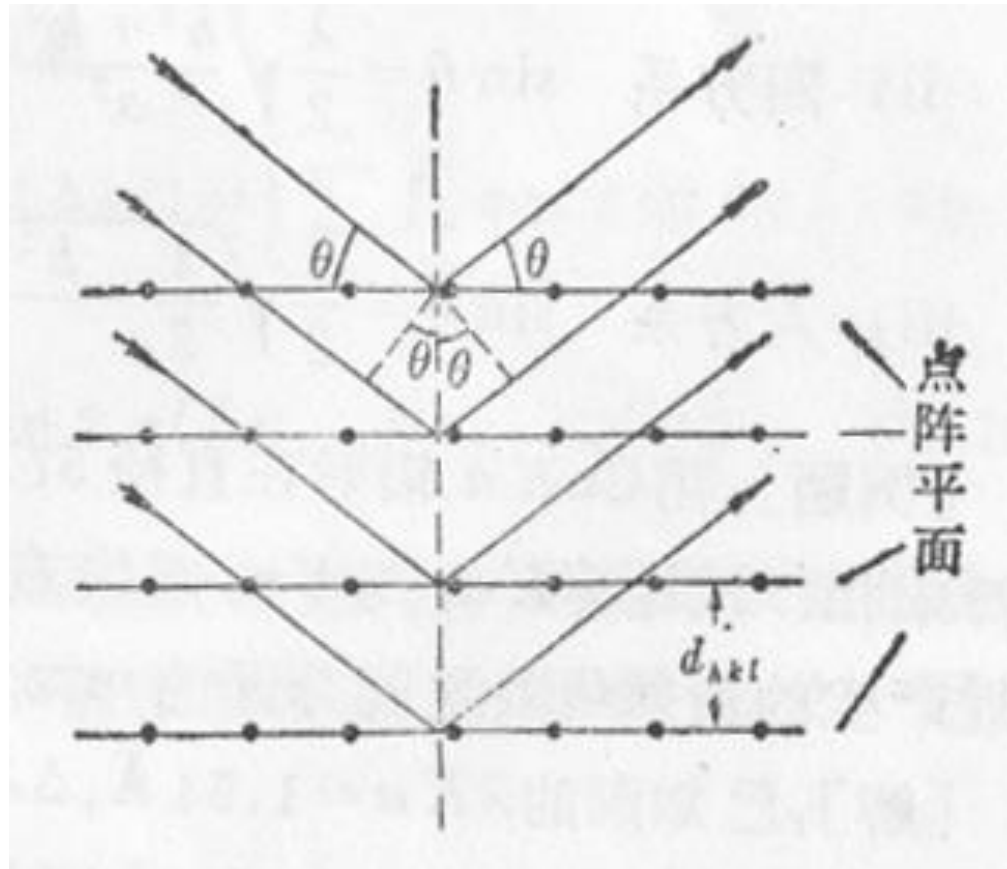
$$s \cdot \left( \frac{\mathbf{b}}{k} - \frac{\mathbf{c}}{l} \right) = 0$$

$$s \cdot \left( \frac{\mathbf{c}}{l} - \frac{\mathbf{a}}{h} \right) = 0$$

# 劳厄方程式与布拉格方程式



# 劳厄方程式与布拉格方程式



# 劳厄方程式与布拉格方程式

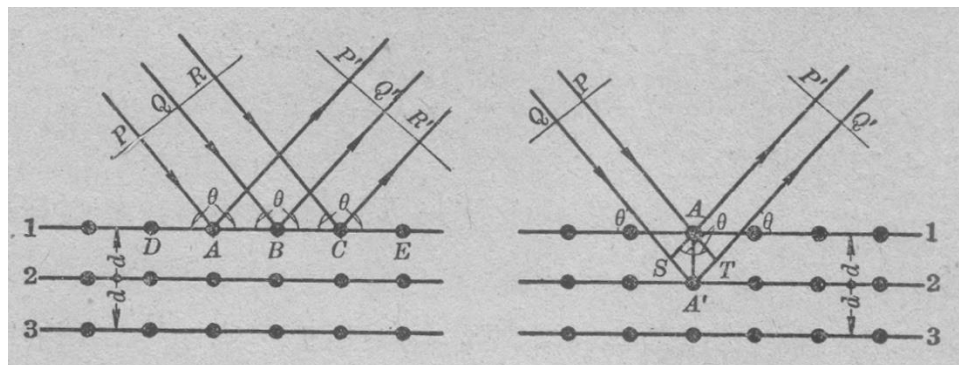
$$d_{hkl} = \frac{s \cdot \frac{\mathbf{a}}{h}}{|s|} = \frac{s \cdot \frac{\mathbf{b}}{k}}{|s|} = \frac{s \cdot \frac{\mathbf{c}}{l}}{|s|}$$

$$s \cdot \frac{\mathbf{a}}{h} = s \cdot \frac{\mathbf{b}}{k} = s \cdot \frac{\mathbf{c}}{l} = 2\pi$$

$$|s| = \frac{4\pi \sin \theta}{\lambda}$$

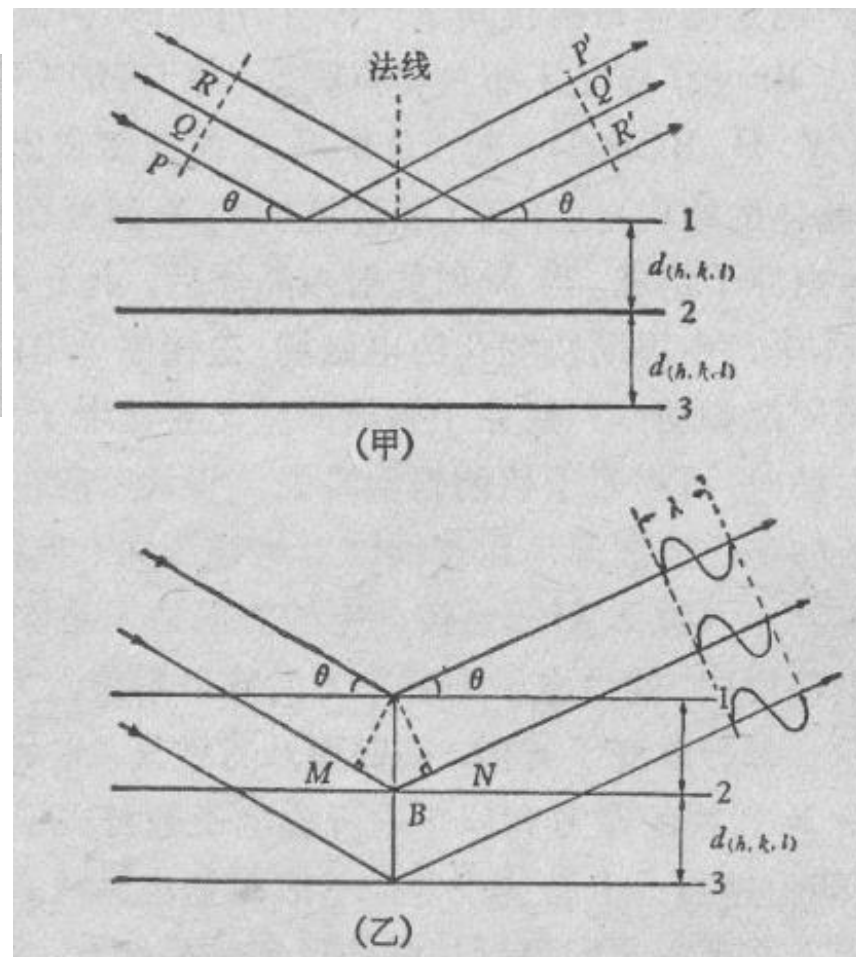
$$2d_{hkl} \sin \theta = \lambda$$

# 如何理解布拉格方程？



$$2d_{hkl} \sin \theta = n\lambda$$

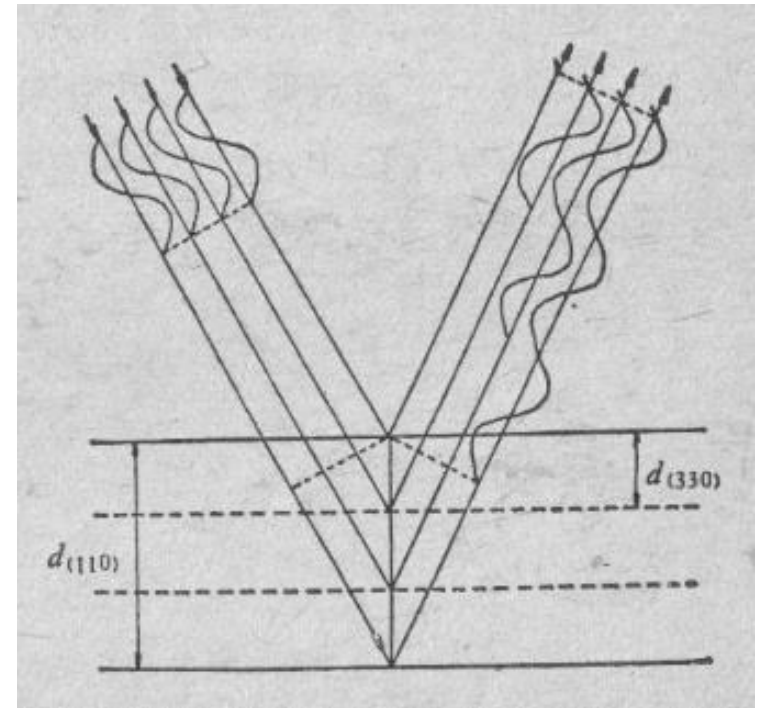
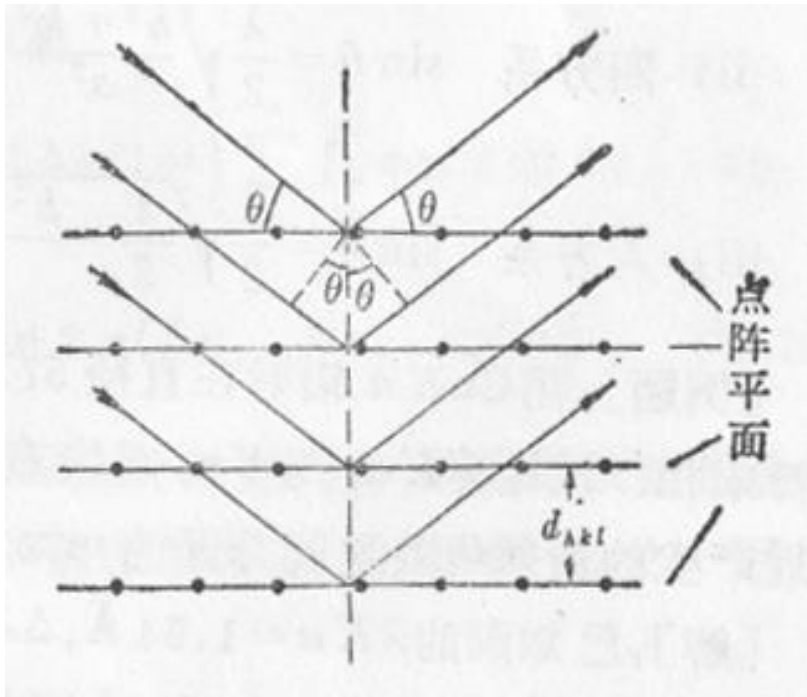
一维，二维，三维



# 如何理解 $n$ ?

$$2d_{hkl} \sin \theta = n\lambda$$

$$2d_{hkl} \sin \theta = \lambda$$



## 不同晶系晶面间距的计算

$$\frac{1}{d^2} = \frac{h^2 + k^2 + l^2}{a^2}$$

$$\frac{1}{d^2} = \frac{h^2 + k^2}{a^2} + \frac{l^2}{c^2}$$

$$V = abc, \frac{1}{d^2} = \frac{h^2}{a^2} + \frac{k^2}{b^2} + \frac{l^2}{c^2}$$

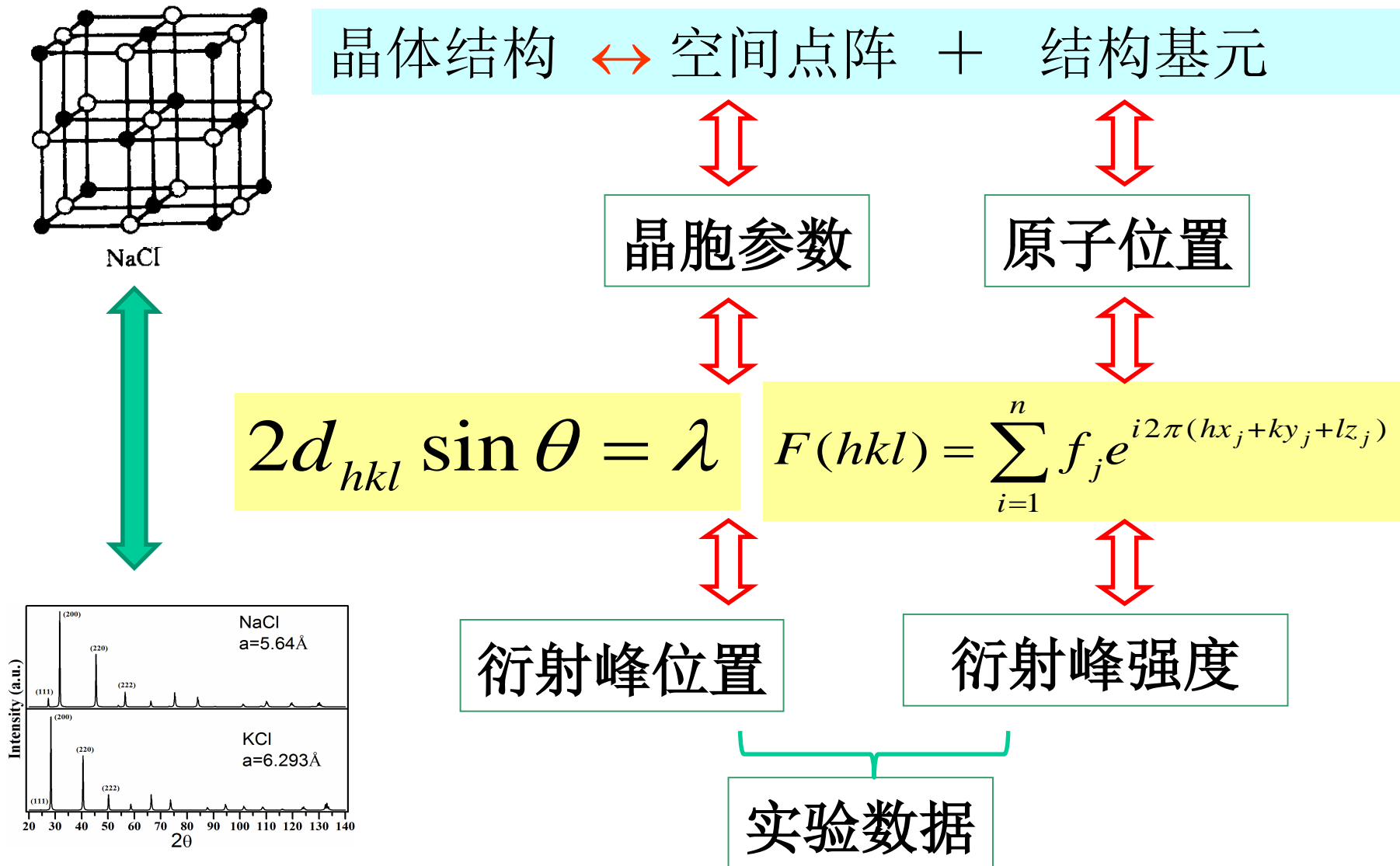
$$V = \frac{\sqrt{3}}{2} a^2 c, \frac{1}{d^2} = \frac{4}{3a^2} (h^2 + hk + k^2) + \frac{l^2}{c^2}$$



## 不同晶系晶面间距的计算

$$\begin{aligned} \frac{1}{d^2} = & \frac{1}{V^2} \{ h^2 b^2 c^2 \sin^2 \alpha + k^2 c^2 a^2 \sin^2 \beta + l^2 a^2 b^2 \sin^2 \gamma \\ & + 2abc[kla(\cos \beta \cos \gamma - \cos \alpha) \\ & + lhb(\cos \gamma \cos \alpha - \cos \beta) + \\ & hkc(\cos \alpha \cos \beta - \cos \gamma)] \} \end{aligned}$$

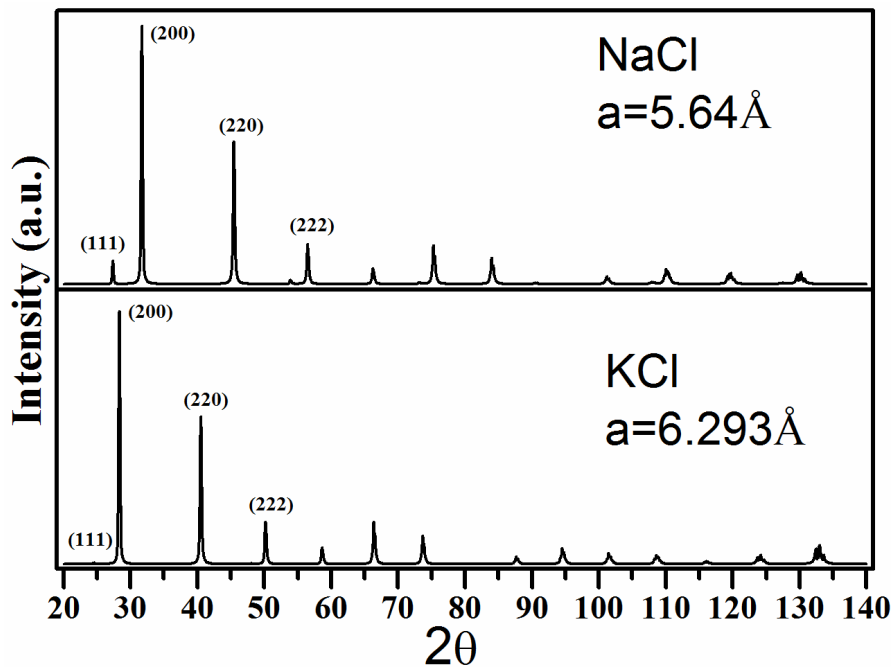
# X射线晶体衍射结构分析基本原理





## 2.2.4 衍射方程的简单应用举例

### 3.1 简单实例分析



问题？

1. KCl衍射峰偏向低角度
2. (100) 衍射峰消失
3. 全奇指标衍射峰弱于全偶
4. KCl (111) 弱于 NaCl (111)

32	$f$	$.3m$	$x, x, x$ $x, x, \bar{x}$	$\bar{x}, \bar{x}, x$ $\bar{x}, \bar{x}, \bar{x}$	$\bar{x}, x, \bar{x}$ $x, \bar{x}, x$	$x, \bar{x}, \bar{x}$ $\bar{x}, x, x$		
24	$e$	$4m.m$	$x, 0, 0$	$\bar{x}, 0, 0$	$0, x, 0$	$0, \bar{x}, 0$	$0, 0, x$	$0, 0, \bar{x}$
24	$d$	$m.mm$	$0, \frac{1}{4}, \frac{1}{4}$	$0, \frac{3}{4}, \frac{1}{4}$	$\frac{1}{4}, 0, \frac{1}{4}$	$\frac{1}{4}, 0, \frac{3}{4}$	$\frac{1}{4}, \frac{1}{4}, 0$	$\frac{3}{4}, \frac{1}{4}, 0$
8	$c$	$\bar{4}3m$	$\frac{1}{4}, \frac{1}{4}, \frac{1}{4}$	$\frac{1}{4}, \frac{1}{4}, \frac{3}{4}$				
4	$b$	$m\bar{3}m$	$\frac{1}{2}, \frac{1}{2}, \frac{1}{2}$					
4	$a$	$m\bar{3}m$	$0, 0, 0$					

## NaCl/KCl 晶体结构

**Fm3m**

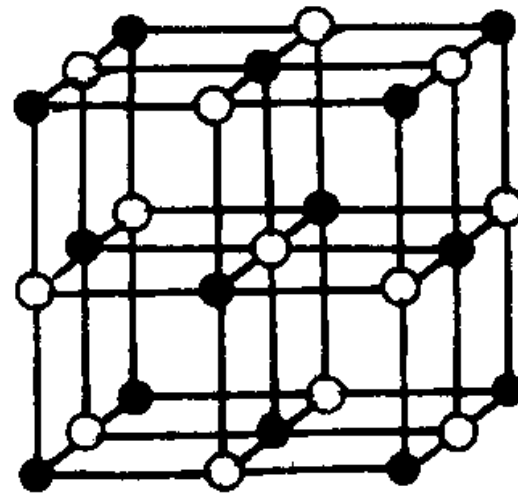
**a=5.640 Å**

**Na 4a (0,0,0)**

**Cl 4b (0.5,0.5,0.5)**

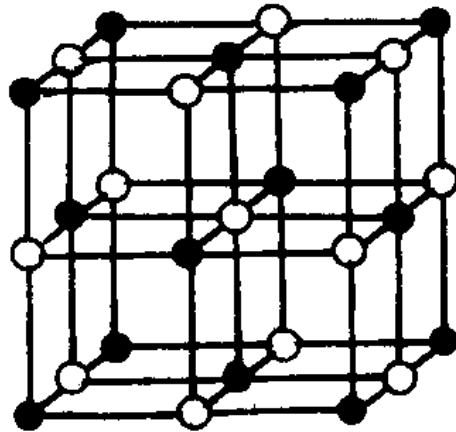
**Z=4**

**KCl: a=6.2901 Å**



NaCl

## 1.5 简单实例分析



NaCl

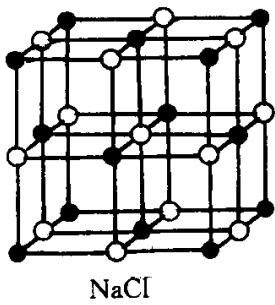
$$000, 0\frac{1}{2}\frac{1}{2}, \frac{1}{2}0\frac{1}{2}, \frac{1}{2}\frac{1}{2}0$$

$$F(hkl) = \sum_{i=1}^n f_j e^{i2\pi(hx_j + ky_j + lz_j)}$$

$$F(hkl) = fe^{2\pi i(0)} + fe^{2\pi i(k+l)/2} + fe^{2\pi i(h+l)/2} + fe^{2\pi i(h+k)/2}$$

**(100),(110),(210), (211):**  $F(hkl) = f + f - f - f = 0$

**(111),(200),(220)(311):**  $F(hkl) = f + f + f + f = 4f$



**Na 4a (0,0,0),**  
**Cl 4b (0.5,0.5,0.5)**

$$F(hkl) = \sum_{j=1}^n f_j e^{i2\pi(hx_j + ky_j + lz_j)}$$

(111), (200), (220), (311)  $f_1 = f(\text{Na}^+); f_2 = f(\text{Cl}^-)$

$$F(hkl) = f_1 e^{2\pi i(0)} + f_1 e^{2\pi i(k+l)/2} + f_1 e^{2\pi i(h+l)/2} + f_1 e^{2\pi i(h+k)/2} \\ + f_2 e^{2\pi ih/2} + f_2 e^{2\pi ik/2} + f_2 e^{2\pi il/2} + f_2 e^{2\pi i(h+k+l)/2}$$

**(111), (311)**  $F(hkl) = 4f_1 - 4f_2 = 4f(\text{Na}^+) - 4f(\text{Cl}^-)$  **Weak**

**(200), (220)**  $F(hkl) = 4f_1 + 4f_2 = 4f(\text{Na}^+) + 4f(\text{Cl}^-)$  **Strong**

**KCl, (111)**  $F(hkl) = 4f_1 - 4f_2 = 4f(\text{K}^+) - 4f(\text{Cl}^-)$  **Very weak**

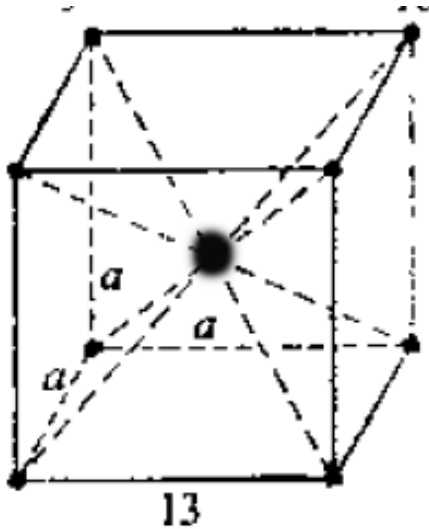
d值的精确度 ~ 0.00001 nm

(hkl)	NaCl Fm3m a=5.64		KCl Fm3m a=6.293	
	d (Å)	I	d(Å)	I
111	3.2600	13	3.6330	1
200	2.8210	100	3.1460	100
220	1.9940	55	2.2251	37
311	1.7010	2	1.8972	<1
222	1.6280	15	1.8169	10



# 衍射强度分析

**Fe单质:  $Im\bar{3}m$   $a=2.866$**



$$F(hkl) = fe^{2\pi i(0)} + fe^{2\pi i(h+k+l)/2}$$

hkl	$I$
110	100
200	20
211	30
220	10
310	12
222	6

# 确定晶体点阵类型的系统消光条件 消光规律

布拉格点阵	出现的衍射	不出现的衍射
简单点阵P	全部出现	无
体心点阵I	$h+k+l$ 为偶数	$h+k+l$ 为奇数
面心点阵F	$h,k,l$ 为全奇或全偶	$h,k,l$ 有奇有偶
C面底心点阵	$h$ 和 $k$ 全奇或全偶	$h$ 和 $k$ 一奇一偶
A面底心点阵	$k$ 和 $l$ 全奇或全偶	$k$ 和 $l$ 一奇一偶

# 确定晶体所具有的微观对称元素

设晶格中有平行于（001）且通过原点的 $2_1$ 螺旋轴。这样，这个对称元素就要求对应于晶胞内任意一点

$$x_j y_j z_j \quad \text{有等效点} \quad -x_j - y_j, z_j + \frac{1}{2}$$

## 确定晶体所具有的微观对称元素

$$f \sum_{j=0}^{\frac{n}{2}} e^{2\pi i(hx_j + ky_j + lz_j)} + f \sum_{j=0}^{\frac{n}{2}} e^{2\pi i(-hx_j - ky_j + lz_j + \frac{1}{2}l)}$$

$$(00l) \quad f \sum e^{2\pi i(lz_j)} + f \sum e^{2\pi i(lz_j + \frac{l}{2})}$$

$$l=2n$$

有强度

$$l=2n+1$$

0

消光规律

# 螺旋轴的系统消光特征

# 消光规律

反射晶面	反射条件	螺旋轴类型	符号
001	$l = 2n$	平行[001], $c/2$	$2_1, 4_2, 6_3$
	$l = 3n$	平行[001], $c/3$	$3_1, 3_2, 6_2, 6_4$
	$l = 4n$	平行[001], $c/4$	$4_2, 4_3$
	$l = 6n$	平行[001], $c/6$	$6_1, 6_5$
h00	$l = 2n$	平行[100], $a/2$	$2_1, 4_2$
	$l = 4n$	平行[100], $a/4$	$4_1, 4_3$
0k0	$l = 2n$	平行[010], $b/2$	$2_1, 4_2$
	$l = 4n$	平行[010], $b/4$	$4_1, 4_3$
hh0	$l = 2n$	平行[110], $a/2+b/2$	$2_1$

## 确定晶体所具有的微观对称元素

设晶体中有平行于 (010) 面，滑移方向沿着a轴的滑移面存在。这样，这个对称元素就要求对应于晶胞内任意一点

$$x_j y_j z_j \quad \text{有等效点} \quad x_j + \frac{1}{2}, \beta - y_j, z_j$$

$\beta$  与坐标原点的选择有关。

# 确定晶体所具有的微观对称元素

$$f \sum_{j=1}^{\frac{n}{2}} e^{2\pi i(hx_j + ky_j + lz_j)} + f \sum_{j=\frac{n}{2}+1}^n e^{2\pi i(hx_j - ky_j + lz_j + \frac{h}{2} + \beta k)}$$

**(h0l)**  $f \sum_{j=1}^{\frac{n}{2}} e^{2\pi i(hx_j + lz_j)} + f \sum_{j=\frac{n}{2}+1}^n e^{2\pi i(hx_j + lz_j + \frac{h}{2})}$

$l=2n$       有强度  
 $l=2n+1$     0

消光规律

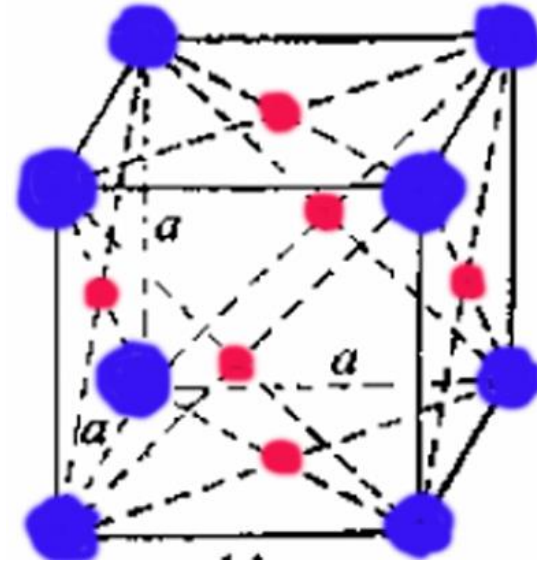
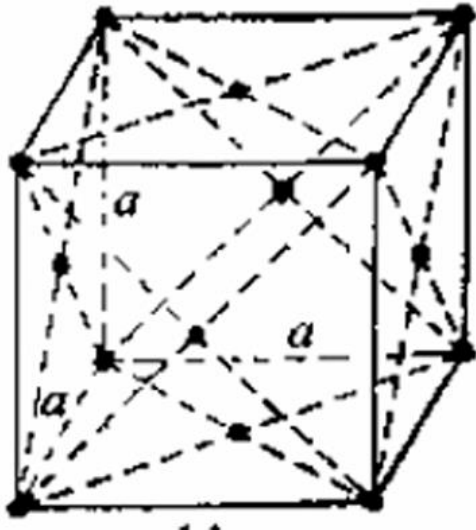
# 滑移面的系统消光特征

# 消光规律

反射晶面	反射条件	滑移面类型	符号
hk0	$h = 2n$	垂直[010], $a/2$	$a$
	$k = 2n$	垂直[010], $b/2$	$b$
	$h+k=2n$	垂直[010], $a/2+b/2$	$n$
	$h+k=4n$	垂直[010], $a/4+b/4$	$d$
h0l	$h = 2n$	垂直[001], $a/2$	$a$
	$l = 2n$	垂直[001], $c/2$	$c$
	$h+l=2n$	垂直[001], $a/2+b/2$	$n$
	$h+l=4n$	垂直[001], $a/4+b/4$	$d$
hh1	$l = 2n$	垂直[110], $c/2$	$c$
	$h = 2n$	垂直[001], $a/2+b/2$	$b$
	$h+l=2n$	垂直[001], $a/2+b/2+ c/2$	$n$
	$2h+l=4n$	垂直[001], $a/4+b/4+ c/4$	$d$



## 检查固溶体中原子占位的有序化



$$F(hkl) = f_{Au} + f_{Cu} [e^{\pi i(h+k)} + e^{\pi i(h+l)} + e^{\pi i(k+l)}]$$

$$= \begin{cases} f_{Au} + 3f_{Cu}, & (\text{当 } h, k, l \text{ 全为奇数或全为偶数时}) \\ f_{Au} - f_{Cu}, & (\text{当 } h, k, l \text{ 为有奇数有偶数时}) \end{cases}$$

# 陆学善，梁敬魁，铜金二元系中超结构的形成与点阵间隔的变迁， 物理学报 22，669-697 (1966)

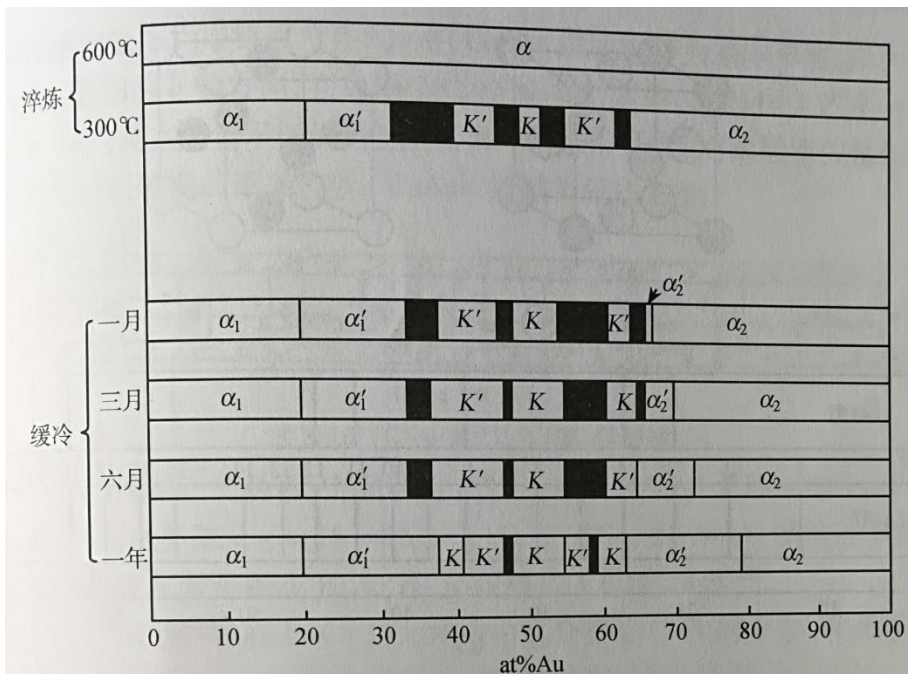


图 8.13 Cu-Au 二元系的相区分布

$\alpha_1$  为以 Cu 为基的固溶体, 属 A1 型结构;  $\alpha'_1$  为相当于  $\text{Cu}_3\text{Au}$  的  $L_{12}$  型超结构;  
 $\alpha_2$  为以 Au 为基的固溶体, 属 A1 型结构;  $\alpha'_2$  为相当于  $\text{CuAu}_3$  的  $L_{12}$  型超结构;  
 $K$  为相当于  $\text{CuAuI}$  的  $L_{10}$  型超结构;  $K'$  为相当于  $\text{CuAuII}$  的  $L_{10}V_w$  型超结构;  
 ■ 为两相区

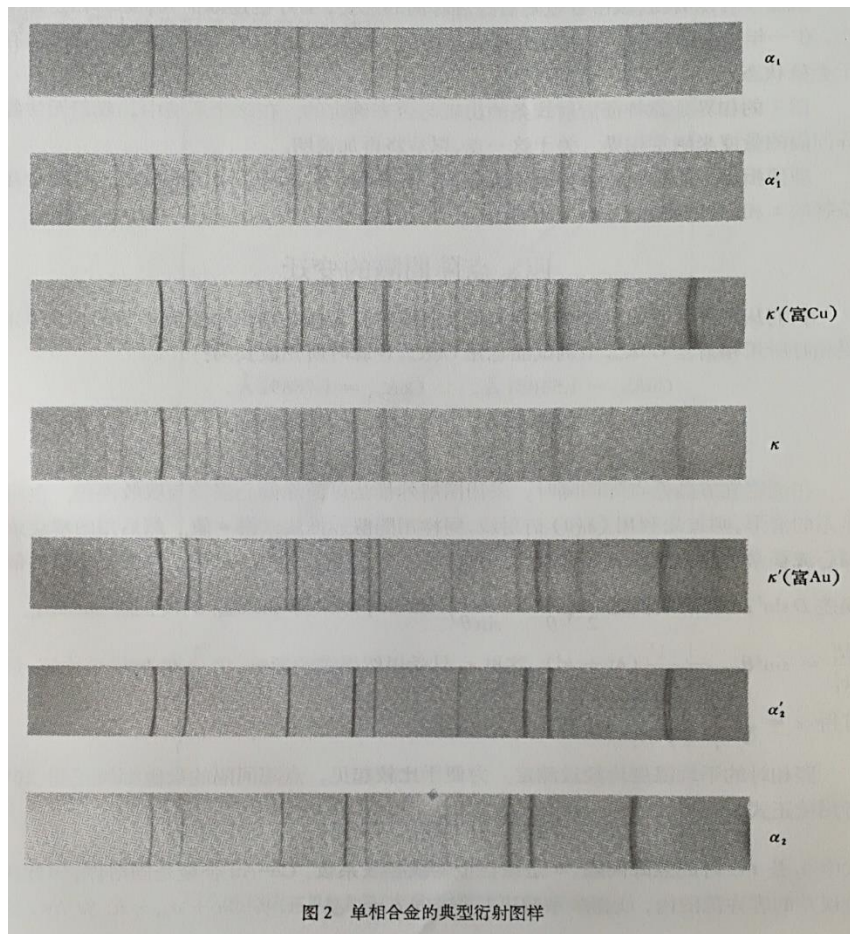
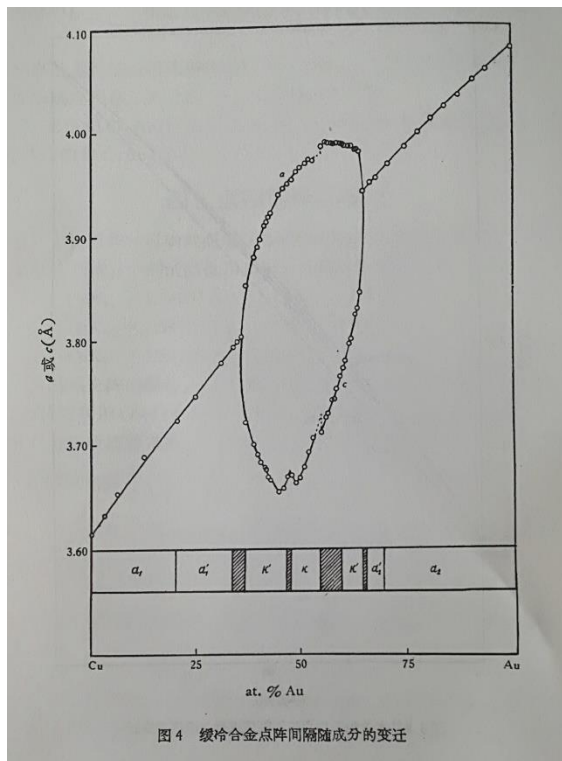
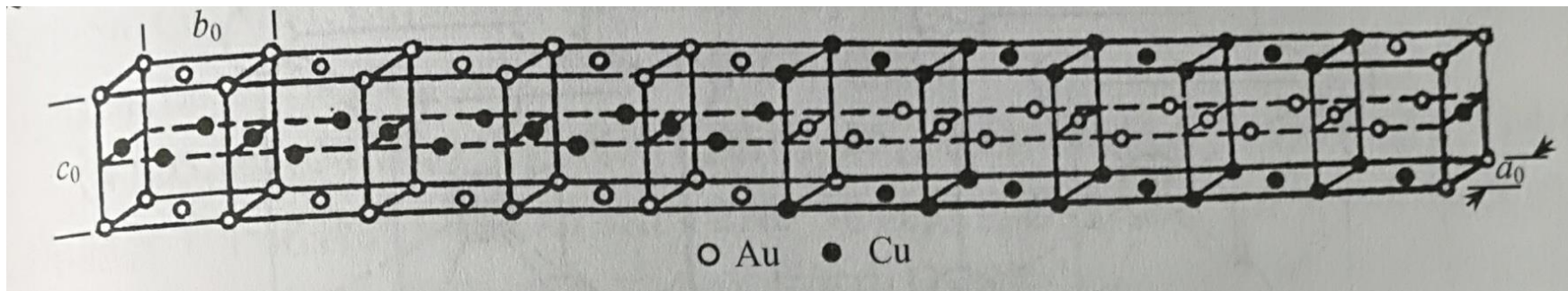


图 2 单相合金的典型衍射图样

陆学善，梁敬魁，铜金二元系中超结构的形成与点阵间隔的变迁，  
物理学报 22，669-697（1966）



陆学善（1905-1981）

